

Поиск  $Z'$ -бозона  
индукцируемого четырехцветовой симметрией  
на LHC и возможные ограничения на его массу

Зайцев Юрий

Ярославль, ЯрГУ

"Физика фундаментальных взаимодействий"

ИФВЭ, 25 декабря, 2008

- ◆ Введение
- ◆ Взаимодействие  $Z'$ -бозона с фермионами
- ◆ Сечение процесса  $\bar{f} f \rightarrow \gamma, Z, Z' \rightarrow l^+ l^-$
- ◆ Сечение рождение  $\mu^+ \mu^-$  пар в  $p p$  столкновениях
- ◆ Анализ возможных данных с LHC
- ◆ Заключение

- ◆ Расширения CM ( $E_6$ , LRM, ALRM, MQLS)  $\rightarrow Z'$
- ◆ Текущие ограничения на массу  $Z'$  –  
бозона :  $M_Z' \gtrsim 1.4$  ТэВ (LEP2),  $M_Z' \gtrsim 0.8$  ТэВ (Tevatron)
- ◆ Возможные ограничения с LHC  $M_Z' \gtrsim 4 - 6$  ТэВ

## Взаимодействие с фермионами

$$\mathcal{L}_{\text{gauge}}^{\text{NC}} = -e \sum_{i=\gamma, Z_1, Z_2} J_\mu^i A_i^\mu, \quad J_\mu^i = \sum_{f_a} \bar{f}_a \gamma_\mu (v_{f_a}^i + d_{f_a}^i \gamma_5) f_a$$

$Z - Z'$  смешивание

$$\begin{aligned} v_{f_a}^{Z_1} &= v_{f_a}^{Z_1} \cos \theta_m - v_{f_a}^{Z_2} \sin \theta_m & a_{f_a}^{Z_1} &= a_{f_a}^{Z_1} \cos \theta_m - a_{f_a}^{Z_2} \sin \theta_m \\ v_{f_a}^{Z'} &= v_{f_a}^{Z_1} \sin \theta_m + v_{f_a}^{Z_2} \cos \theta_m & d_{f_a}^{Z'} &= a_{f_a}^{Z_1} \sin \theta_m - a_{f_a}^{Z_2} \cos \theta_m \end{aligned}$$

$$v_{f_a}^{Z_1} = \frac{(\tau_3)_{aa} - 4 Q_{f_a} s_W^2}{4 s_W c_W} \quad a_{f_a}^{Z_1} = \frac{(\tau_3)_{aa}}{4 s_W c_W}$$

[T.Rizzo, hep-ph/0610104](#)

[A.Leike, Phys.Rep. 317, 143 \(1999\); hep-ph/9805494](#)

$SU_V(4) \otimes SU_L(2) \otimes U_R(1)$

$$\begin{array}{ccc} g_4 & g_2 & g_1 \\ \alpha_{st} & \alpha_w & \alpha_{em} \end{array}$$

$$\nu_{f_a}^{Z_2} = \frac{1}{c_W s_W \sqrt{1-s_W^2-s_S^2}} \left[ c_W^2 \sqrt{\frac{2}{3}} (t_{15})_f - \left( Q_{f_a} - \frac{(\tau_3)_{aa}}{4} \right) s_S^2 \right]$$

$$a_{f_a}^{Z_2} = \frac{s_S}{c_W s_W \sqrt{1-s_W^2-s_S^2}} \frac{(\tau_3)_{aa}}{4}$$

*J.C.Pati and A.Salam, Phys.Rev.D 10 (1974), 275*

*Smirnov A.D., Phys.Lett.B346 (1995), p.297*

*Смирнов А.Д., ЯФ мом 58 (1995), cmp.2252*

Сечение процесса  $\bar{f} f \rightarrow \gamma, Z, Z' \rightarrow l^+ l^-$

$$\sigma\left(\bar{f} f \xrightarrow{\gamma, Z, Z'} l^+ l^-\right) = \frac{4\pi s \alpha^2}{3 N_c} \sum_{i,j=\gamma, Z, Z'} C_{fl}^{ij} P_{ij}(s)$$

комбинация констант связи

$$B_{f_a l}^{ij} = \left( a_{f_a}^i v_{f_a}^j + v_{f_a}^i a_{f_a}^j \right) \left( a_l^i v_l^j + v_l^i a_l^j \right)$$
$$C_{f_a l}^{ij} = \left( a_{f_a}^i a_{f_a}^j + v_{f_a}^i v_{f_a}^j \right) \left( a_l^i a_l^j + v_l^i v_l^j \right)$$

фактор из пропагатора

$$P_i = \frac{1}{s - M_i^2 + i M_i \Gamma_i} \quad P_{ij}(s) = \text{Re} [P_i(s) P_j^*(s)]$$

[T.Rizzo, hep-ph/0610104](#)

[A.Leike, Phys.Rep.317, 143 \(1999\); hep-ph/9805494](#)

## Рождение $\mu^+ \mu^-$ пар в $p p$ столкновениях

$$d\sigma(p p \xrightarrow{\gamma Z, Z'} \mu^+ \mu^-) = \sum_k F_k(x_1, x_2, s) \sigma_{q_k q_k \rightarrow \mu^+ \mu^-} d\sigma_{\gamma Z, Z' \rightarrow \mu^+ \mu^-} dx_1 dx_2$$

плотность вероятности пары в начальном состоянии

$$F_k(x_1, x_2, s) = f_{q_k}(x_1, s) f_{q_k}(x_2, s) + f_{q_k}(x_2, s) f_{q_k}(x_1, s)$$

новые переменные

$$M^2 = x_1 x_2 S, \quad y = \ln(x_1/x_2), \quad dx_1 dx_2 = \frac{2M}{S} dM dy$$

$$\frac{d\sigma(p p \xrightarrow{\gamma Z, Z'} \mu^+ \mu^-)}{dM} = \frac{8\pi M^3 \alpha^2}{9S} \sum_{ij} I_{ij}^{ij}(M, S) P_{ij}(M^2)$$

где

$$I^{ij}(M, S) = \sum_k I_k(M, S) C_{q_k \mu}^{ij}$$

$$I_k(M, S) = \int_{-\ln \sqrt{S}}^{\ln \sqrt{S}} / M F_k \left( \frac{M}{\sqrt{S}} e^y, \frac{M}{\sqrt{S}} e^{-y}, M^2 \right) dy$$

сигнальный процесс

$$\sigma_s(M_Z, \Delta M) = \int_{M_Z - \Delta M}^{M_Z + \Delta M} \frac{d\sigma(p p \xrightarrow{\gamma, Z} \mu^+ \mu^-)}{dM} dM, \quad N_S = L \sigma_s(M_Z, \Delta M)$$

фоновый процесс

$$\sigma_B(M_Z, \Delta M) = \int_{M_Z - \Delta M}^{M_Z + \Delta M} \frac{d\sigma(p p \xrightarrow{\gamma, Z} \mu^+ \mu^-)}{dM} dM, \quad N_B = L \sigma_s(M_Z, \Delta M)$$

$L$ -интегральная светимометр

$$\Delta M = 0.85 \Gamma_Z = 2 \sigma$$

*G.Landsberg, K.T.Matchev, hep-ex/0001007.*

значимость сигнала

$$S = \sqrt{2 \left( (N_S + N_B) \ln \left( 1 + \frac{N_S}{N_B} \right) - N_S \right)}$$

*V.Bartsch and G.Quast, IEKP - KA/2003 - 30, CMS Note 2005/004.*

PDF: AL'03

*S.I.Alekhin, Phys.Rev.D67, 114002 (2003), hep-ph/0211096*

## Ширина $Z'$ бозона в МКЛС

Ширина распада на пару фермионов

$$\Gamma\left(Z' \rightarrow \bar{f}_a f_a\right) = N_f M_{Z'} \frac{\alpha}{3} \left( \left(v_{f_a}^{Z'}\right)^2 + \left(a_{f_a}^{Z'}\right)^2 \right) \quad N_f = \begin{cases} 1 & (\text{лектоны}) \\ 3 & (\text{кварки}) \end{cases}$$

Ширина распада на пару скалярных бозонов

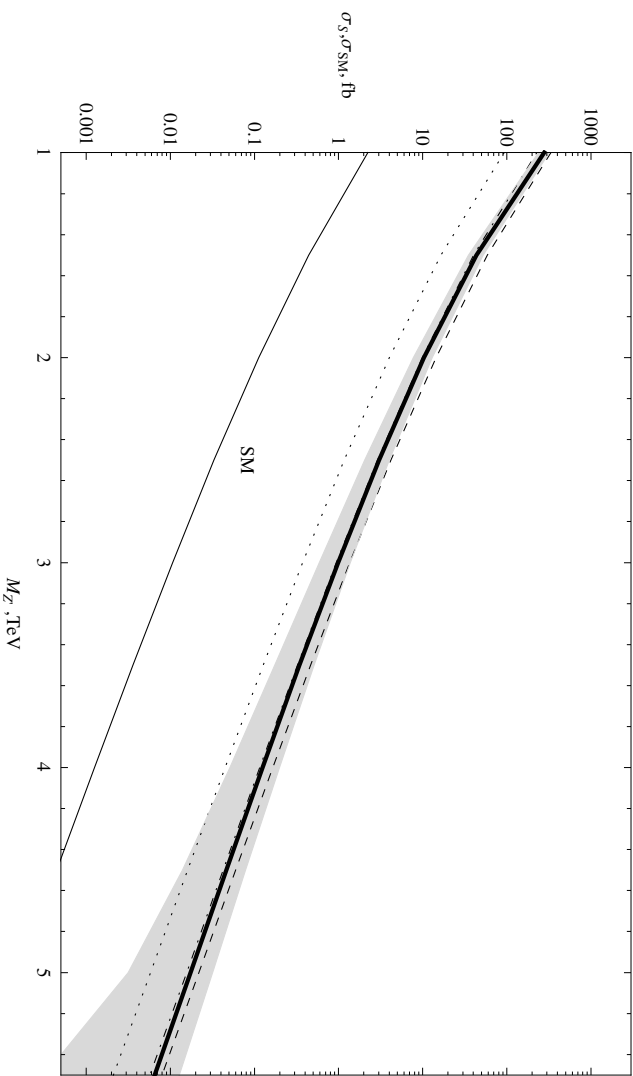
$$\Gamma(Z' \rightarrow \Phi \Phi) = N_\Phi \frac{g_{Z' \Phi \Phi}^2}{48\pi} M_{Z'} \left( 1 - \frac{4m_\Phi^2}{M_{Z'}^2} \right) \quad N_\Phi = \begin{cases} 16 & (\text{скалярные глюоны } F_a) \\ 6 & (\text{сккалярные лептоКварки } S_a^\pm) \end{cases}$$

константы взаимодействия

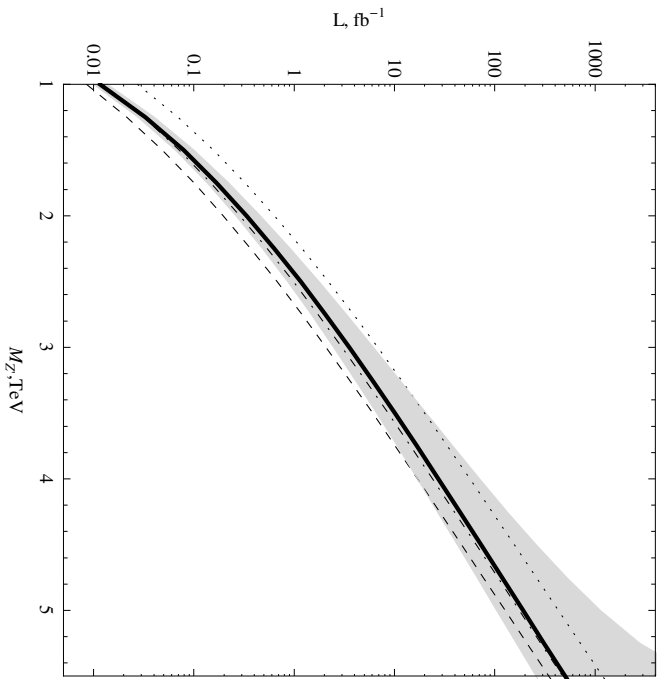
$$g_{Z' F_a F_a} = -\frac{e\sigma}{2 s_W c_W} \quad g_{Z' S_a^\pm S_a^\pm} = -e \left( \frac{\sigma}{2 s_W c_W} \pm \frac{2t_W}{3\sigma} \right)$$

$$\sigma = \frac{1}{\sqrt{1 - s_w^2 - s_s^2}}$$

# Анализ возможных данных с LHC



# Анализ возможных данных с LHC



- ◆ Вычислено сечение рождения  $\mu^+ \mu^-$  пар в  $pp$  столкновениях с учетом  $Z'$ -бозона, индуцируемого четырехцветовой симметрией между кварками и лептонами.

- ◆ При массах  $Z'$  - бозона МКЛС - модели:

$$M_{Z'} < 2.44 \pm^{0.13}_{0.15} \text{ TeV} @ 1 \text{ fb}^{-1}$$

$$M_Z < 3.50 \pm^{0.22}_{0.29} \text{ TeV} @ 10 \text{ fb}^{-1}$$

$$M_Z < 4.67 \pm^{0.31}_{0.52} \text{ TeV} @ 100 \text{ fb}^{-1}$$

возможно его проявление в процессе  $p p \rightarrow \gamma, Z, Z' \rightarrow \mu^+ \mu^-$  на уровне статистической значимости  $5\sigma$

## Список литературы

- [1] J.C.Pati and A.Salam, Phys.Rev.D 10 (1974), 275
- [2] Smirnov A.D., Phys.Lett.B346 (1995), p .297
- [3] Смирнов А.Д., ЯФ том 58 (1995), стр.2252
- [4] T.Rizzo, hep - ph/0610104
- [5] A.Leike, Phys.Rep.317, 143 (1999); hep - ph/9805494
- [6] R.Cousins, J.Mumford and V.Valuev, CMS NOTE 2005 - 002
- [7] R.Cousins, J.Mumford and V.Valuev, CMS NOTE 2006 - 062
- [8] V.Bartsch and G.Quast, IEKP - KA/2003 - 30, CMS Note 2005/004.
- [9] G.Landsberg, K.T.Matchev, hep - ex/0001007.
- [10] S.I.Alekhin, Phys.Rev.D67, 114002 (2003), hep - ph/0211096

## Сравнение МКЛС модели с другими

$L, fb^{-1}$	$MQLSM$			$E_6$	LRM	SSM
	$5\sigma$	$3\sigma$	$1\sigma$	$5\sigma$	$5\sigma$	$5\sigma$
1	2.44	2.90	3.95	2.18	2.50	2.67
10	3.50	4.01	5.14	3.18	3.57	3.74
100	4.67	5.19	6.38	4.28	4.72	4.89